

# Rubix

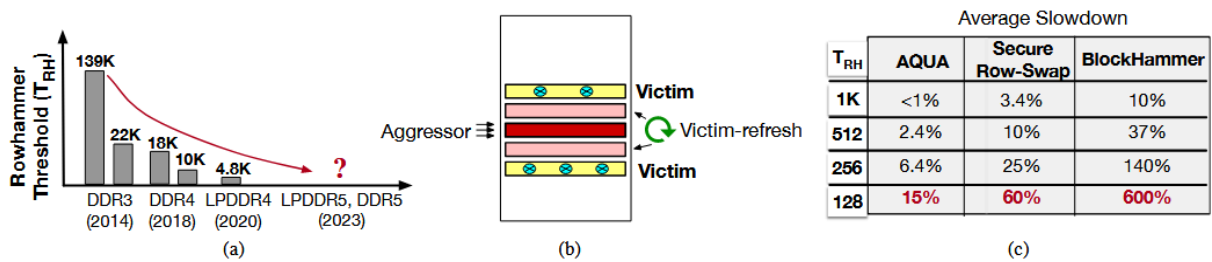
## 1.1 为什么要使用Rubix

目前学术界存在着多种RowHammer缓解措施, 这些方案大多需要**计数器**来追踪行激活数：

- **Blockhammer**通过**延迟访问**来控制**频繁访问行的访问速率**，从而确保在 64 毫秒内，任何行**不会出现超过  $T_{RH}$  次激活**。由于攻击者无法在单行上执行大量激活（Half-Double攻击的条件），因此它可以防范较为复杂的攻击。
- **AQUA** 在被  $T_{RH}/2$ 次 激活（由于跟踪器重置导致阈值减半）时将**攻击者行**迁移到内存中的**隔离区域**。AQUA 通过破坏攻击者和受害者之间的空间相关性，使得攻击者难以成功。
- **安全行交换 (SRS)** 在被 $T_{RH}/3$ 次激活后，将**攻击者行**与内存中另一个**随机选择的行**进行**交换**。与 AQUA 一样，SRS 会破坏攻击者与受害者之间的空间相关性。

这些安全缓解措施都会在计数器达到**某个阈值  $T_{RH}$**  之后 实施一些行为来防止出现 RowHammer, 但是这些操作会**造成一定的开销**, 在阈值设定较大时不容易触发缓解措施, 因此带来的开销尚在可接受范围内. 一旦**阈值降低(比如降低到128)**, 就很容易触发缓解措施, 造成严重的性能下降.

下图展示了阈值从 1 K 降低到 128 时 AQUA、SRS 和 Blockhammer的平均性能下降情况。在阈值为 128 时，AQUA 有 **15%** 的性能损失，SRS有 **60%**，Blockhammer 则有 **600%**，



## 1.2 Rubix怎么解决这个问题

在一个**刷新窗口内(64ms)**, 程序会频繁访问一小部分内存row, 造成这些部分的内存非常容易超过阈值而触发缓解措施.

Rubix将一个row拆分成 多个部分, 并将这几个部分随机散布在整个内存空间里, 这样就可以将原本一个row的 100次访问变成对10个row的各10次访问.

为了体现 Rubix的效果, 下述测试都把 **RowHammer缓解措施**的计数器阈值设置为128.

## 1.3 Hot Rows

Hot Rows指的是在一个**刷新窗口内(64ms)**, 激活次数很多的row.文中描述了两种 Hot Rows, 分别是激活次数为 64 次以上 (ACT-64+) 和激活次数为 512 次以上 (ACT-512+) 的“热行”.

下面这张表测试了常见的几个workloads运行的指标, 作者跳过忽略其中 250 亿条指令, 然后模拟 2.5 亿条指令.

- MPKI: 每千条指令 cache miss数
- Unique Rows: 访问过的Row的数量, 重复访问的只计算一次

**Table 2. Workloads Characteristics: MPKI, Unique Rows Touched (within 64ms), and Hot-Rows (within 64ms).**

Workload	MPKI (LLC)	Unique Rows Activated	Total number of "Hot-Rows"	
			ACT-64+	ACT-512+
blender	12.78	8.8K	347K	2.9K
lbm	20.87	29.4K	70.3K	0
gcc	6.12	10.4K	21.8K	384
cactuBSSN	2.57	5.2K	12.2K	0
mcf	5.81	4.9K	10.5K	425
roms	3.33	27.9K	6.6K	9
perlbench	0.71	11.4K	1.7K	0
xz	0.40	10.8K	496	0
nab	0.53	4.4K	189	0
namd	0.37	3.4K	105	0
imagick	0.13	1.1K	89	0
bwaves	0.21	1.7K	20	0
wrf	0.02	702	20	0
exchange2	0.01	122	14	0
deepsjeng	0.25	68.1K	12	0
povray	0.01	390	8	0
parest	0.10	2.4K	3	0
leela	0.02	879	0	0
Average	3.01	10.7K	9528	206

### 1.3.1 line-to-row映射对 Hot Rows的影响

现在给定一个系统, 该系统的总内存为 4kb, 包含100w个row, 每个row的大小为4kb且由64个line组成, 且一个 4kb的page放在同一个row当中. 现在要使用三种不同访存模式(每次访问以Line为基本单位)访问 100w 次, 且将访存行为限制在4mb里(空间局部性).

#### 1.3.1.1 顺序访问

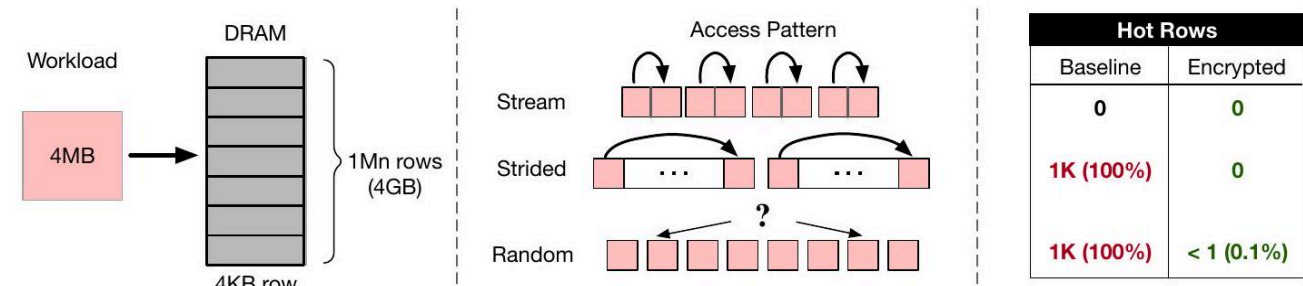
对于顺序访问, 第一次访问会导致 row 激活, 随后的 63 次访问都会命中rowbuffer。因此, 一百万次内存访问总共只会导致 15.6 K 次激活, 这些激活分布在 1 K 行上, 每行约 16 次激活, 没有产生热行.

#### 1.3.1.2 步幅64间隔访存

stride-64 方式的步幅为 64 行，每次访问都会转到不同的页。由于每次内存访问都会导致激活，因此此方式会产生 1 百万次激活，均匀分布在 1 K 页面上，每行都会被激活 1 K 次。因此，所有 1 K 行都是热行。

### 1.3.1.3 随机访存

随机访问时几乎不会命中缓冲区，因此 1 百万次访问会导致 1 百万次激活，分布在 1 K 行上。每行的平均激活次数为 1000（标准差为 32），其中超过 99% 的行激活次数超过 900。因此，我们认为**所有 1K 行都是热行**。



将连续line放置在相同row中的传统映射会导致**间隔访问模式**和**随机访问模式**都出现热行。

再考虑采用加密行地址来访问内存系统的映射方式，这种方式可以把4MB 的 64K 行分散到内存中的 100 万行里。

通过二项分布估算 大概有61.5 K row中**不存在来自同一row的Line**，1.9 K row有 2 个来自同一row的line，40 row有 3 行（没有行有 4 行或更多行）。

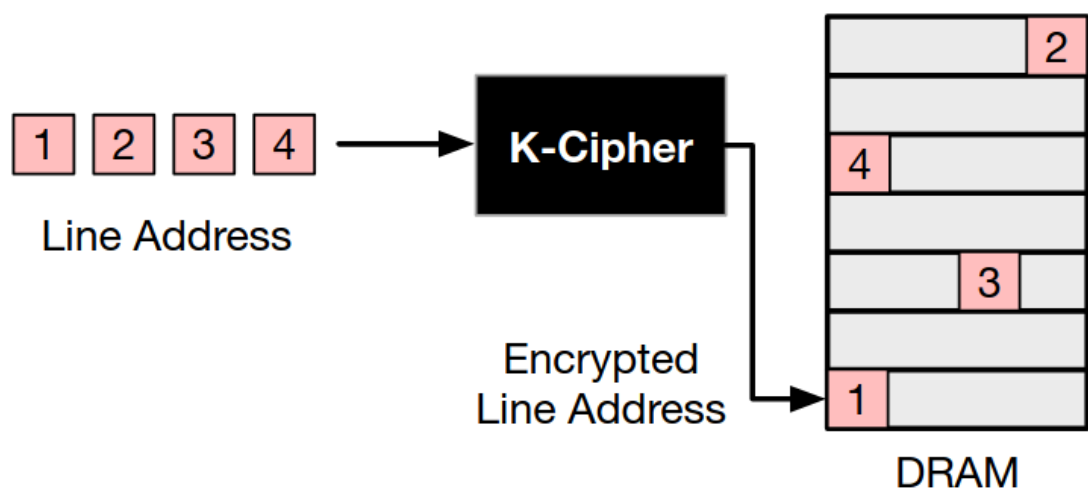
对于顺序和间隔访问，每行被访问 16 次。因此，我们有 61.5 K 行有 16 次激活，1.9 K 行有 32 次激活，40 行有 48 次激活。**因此，没有行是热行**。对于随机，我们估计预期的热行数量为 0.4，因此**不会有热行**。

## 1.4 Rubix-S

### 1.4.1 最简单的Rubix-S

Rubix-S 使用 K-Cipher 进行地址空间随机化，K-Cipher 是一种低延迟的可编程位宽密码。K-Cipher 位于 **内存控制器(CPU)** 中，时延为 3 个周期（采用 10nm 工艺技术）。在内存访问时，它加密用于访问内存的**line**地址。由于我们有 16GB 内存，因此使用 28 位密码。加密随机化了**line到row**的映射。

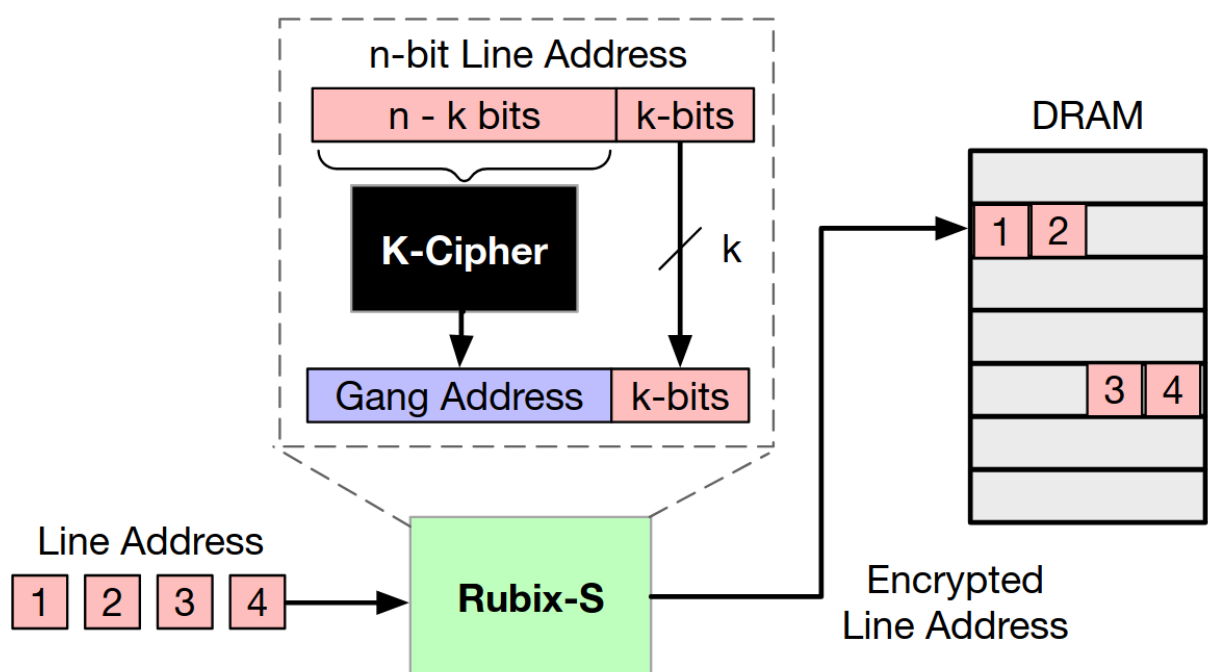
具体的**line到row**的映射取决于 K-Cipher 的 **96 位密钥**。密钥在启动时设置为**随机值**（基于 PRNG）。由于每个系统都有不同的密钥，因此每个系统的内存映射也会不同。



## 1.4.2 利用好 RowBuffer

虽然行地址加密几乎消除了热行，但它将行缓冲命中率降至近乎零。Rubix通过加密 2-4 个连续行的组来最大程度地减少热行，同时保留一些行缓冲命中。

在这种方案下 K-cipher只加密高  $n-k$  位地址，下面以Rubix-S(GSX)代表一个组内有X个line的方案.



## 1.4.3 结果

### 1.4.3.1 热行数量

平均而言, Rubix(GS4)将热行的数量下降了 220x, 为33

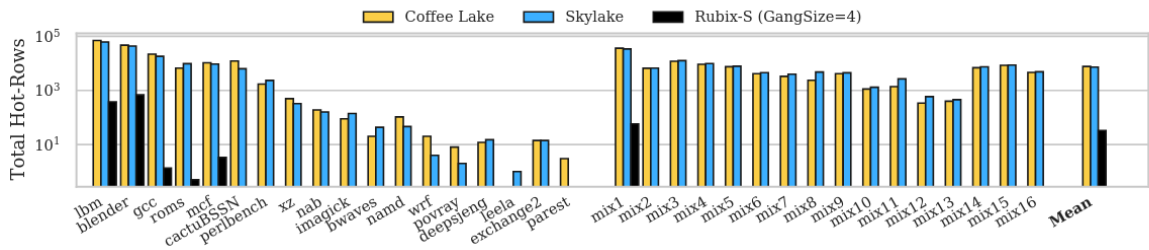


Figure 7. Number of hot-rows (activations of 64 or more) with Intel mappings and Rubix-S with Gang-Size of 4 (GS4). Mean implies arithmetic mean. While baselines have more than 7K hot rows on average, Rubix-S (GS4) reduces it by 220x to 33.

### 1.4.3.2 性能损失

以无防护coffee lake下的性能为baseline, 使用AQUA作为防护方案造成了平均15% 的性能下降, 而通过Rubix-S(GS4)加强后将其降低到1%.

#### 不同的测试用例, 极端的情况

SRS和BlockHammer分别导致60%和600%的性能下降。通过Rubix-S加强后使得SRS和BlockHammer性能损失分别为 3.1% (SRS使用 GS 4) 和 2.8% (BlockHammer 使用 GS 1, 为什么要使用GS 1), 而且在应用层性能上保持了最坏情况下也只有42%的性能损失 (SRS使用 lbm) 和仅11%的性能损失 (对于BlockHammer) .

总体而言, Rubix-S使得在超低阈值 (128) 下实现安全缓解成为可能, 仅带来2-3%的开销。

尽管我们没有改变访问调度和DRAM页面策略, 但微调它们可能会进一步减少开销。

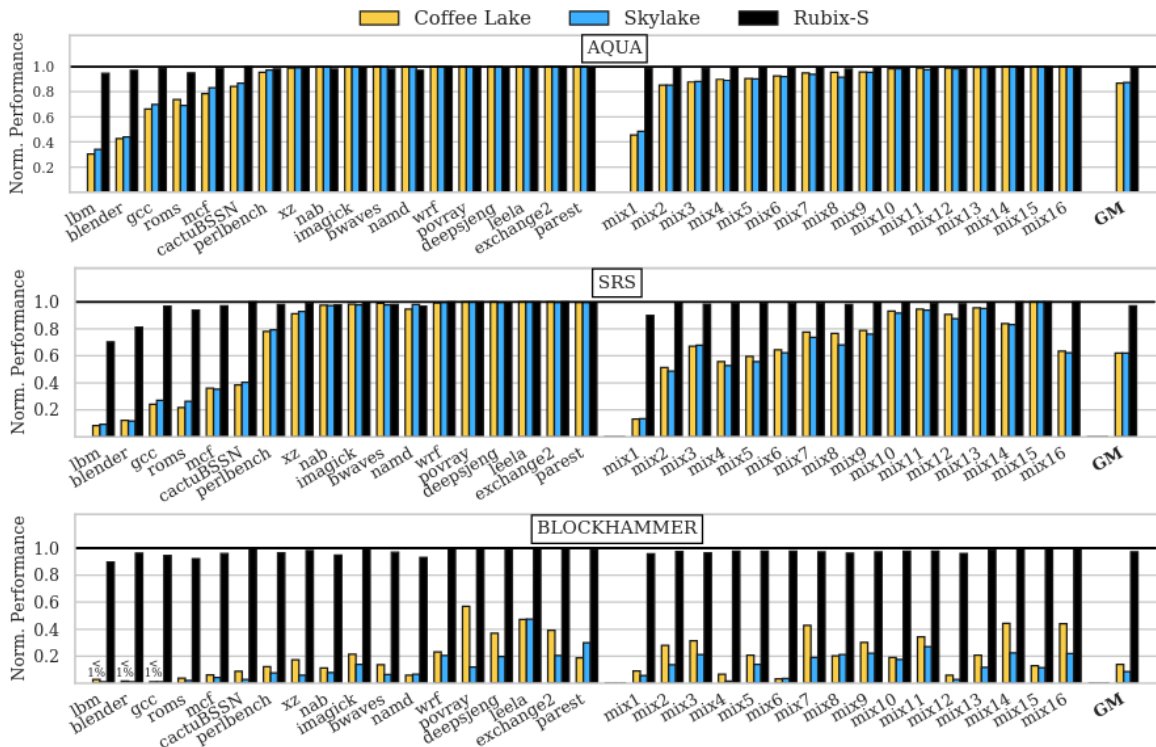


Figure 8. Performance of secure mitigations at  $T_{RH}$  of 128 for Intel mappings and Rubix-S, normalized to an unprotected Coffee Lake baseline. Rubix-S uses GS4 for AQUA and SRS, and GS1 for Blockhammer, and reduces the average slowdown to 1.1%, 3.1%, and 2.9%, respectively (down from 15%, 60%, and 600%), making them viable at ultra-low thresholds.

### 1.4.3.3 gang-size的选择

GS的大小选择本质上是在 热行数量和 rowbuffer 命中率之间的权衡, 以下是不同 GS下各防护的性能损失。

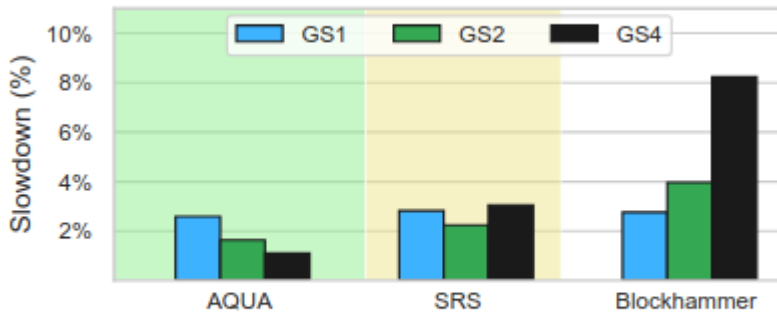


Figure 9. Performance of Rubix-S with Gang-Size of 1-4.

由于高缓解开销，**Blockhammer 最适合使用 GS1**，它消除了热点行。  
**AQUA 具有较低的缓解开销，因此最适合GS4**，它保留了一定的行缓冲区命中。  
对于 **SRS**，**GS2** 在行缓冲区命中和最小化热点行之间提供了最佳平衡。

#### 1.4.3.4 对RowBuffer命中的影响

Coffee Lake和Skylake策略下RowBuffer的平均命中率分别是55%和63%。  
使用Rubix-S后RowBuffer的平均命中率为**0(GS1)、19%(GS2)和31%(GS4)**

#### 1.4.3.5 对存储和功耗的影响

Rubix在k-cipher和地址映射逻辑上的功率很低，主要额外开销来自于RowBuffer命中率降低。这里使用[镁光的功率计算器.](Micron Technology Inc. [n. d.]. System Power Calculators. ([n. d.]). <https://www.micron.com/support/tools-and-utilities/power-calc.>)

Rubix-S在GS为4时将DRAM功耗**提高了120mW（增加4.3%）**，在GS为1时**提高了300mW（增加10.6%）**，这是由于行缓冲区命中率低于baseline，导致额外的激活。  
Rubix-S在启用安全措施后的功耗仍保持在baseline的10%以内，因为几乎没有触发缓解措施。

### 1.4.4 安全性证明

## 1.5 Rubix-D

### 1.5.1 整体结构

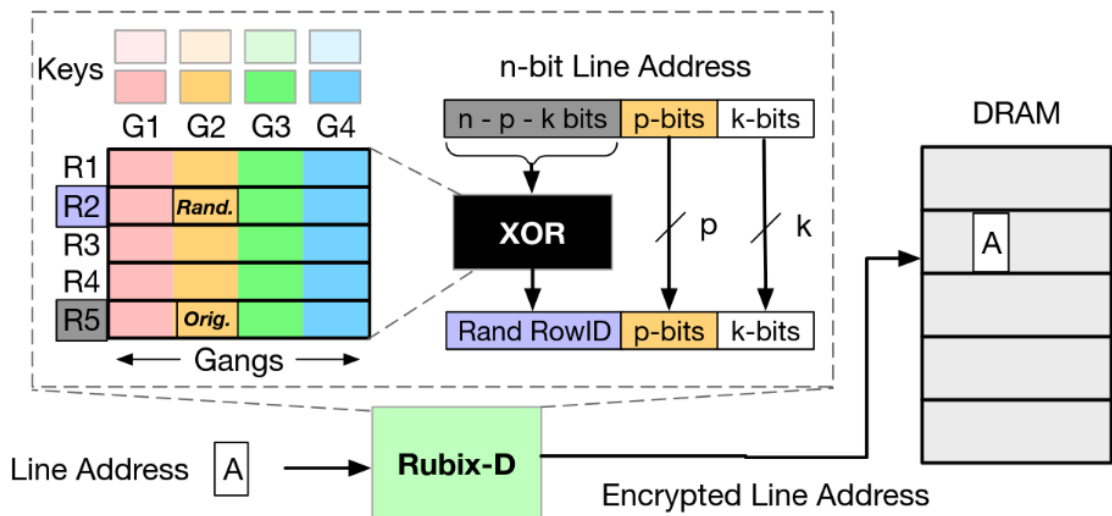
Rubix-D通过与随机生成的密钥进行异或操作来实现随机化，并且这种映射会逐渐从旧的密钥变化到新的密钥。

首先介绍一下 Rubix-D的整体结构，在该方案下内存空间在垂直方向也进行一次分组, 每一个row都将自己**划分为v个gang**(图中示例为4, 按照不同颜色区分), 那么第 i 组就由所有row的第 i 个gang组成。

每一个组都有一个独立的密钥(实际是两个密钥，currKey和nextKey, 后续再做解释), 一共有 v 个密钥。当发起一次访存行为时, 地址 L被划分为如图所示的 (L1, L2, L3)三个部分, 随后 L1会被转化成  $L1' = L1 \oplus K_{L2}$ ，随后按照 (L1', L2, L3)去DRAM中找对应位置。



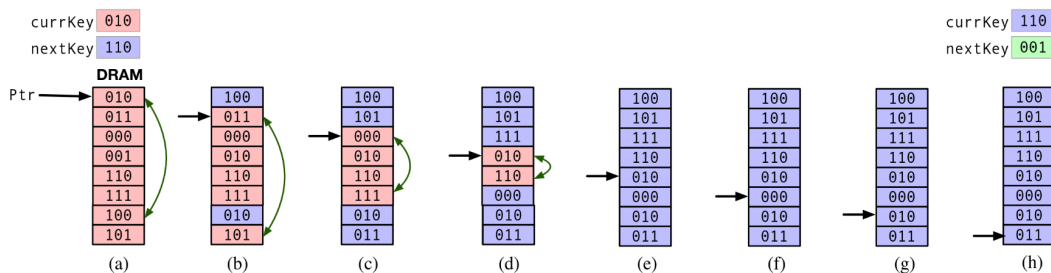
## 使用数据结构将它算法化



**Figure 11.** Overview of Rubix-D: gangs within a vertical group (G1, G2, etc.) are routed to random rows in memory.

### 1.5.2 密钥轮转

在实际运行 Rubix-D时，由于需要动态的进行密钥轮转(该值由基于硬件的 PRNG 生成)，因此需要两个变量来记录当前密钥和下一个密钥. 在切换密钥之后需要一步一步将内存映射由 currKey 映射转化成按 nextKey 映射. 具体步骤如下图所示, 为了方便描述这里假设一共只有8个 row:

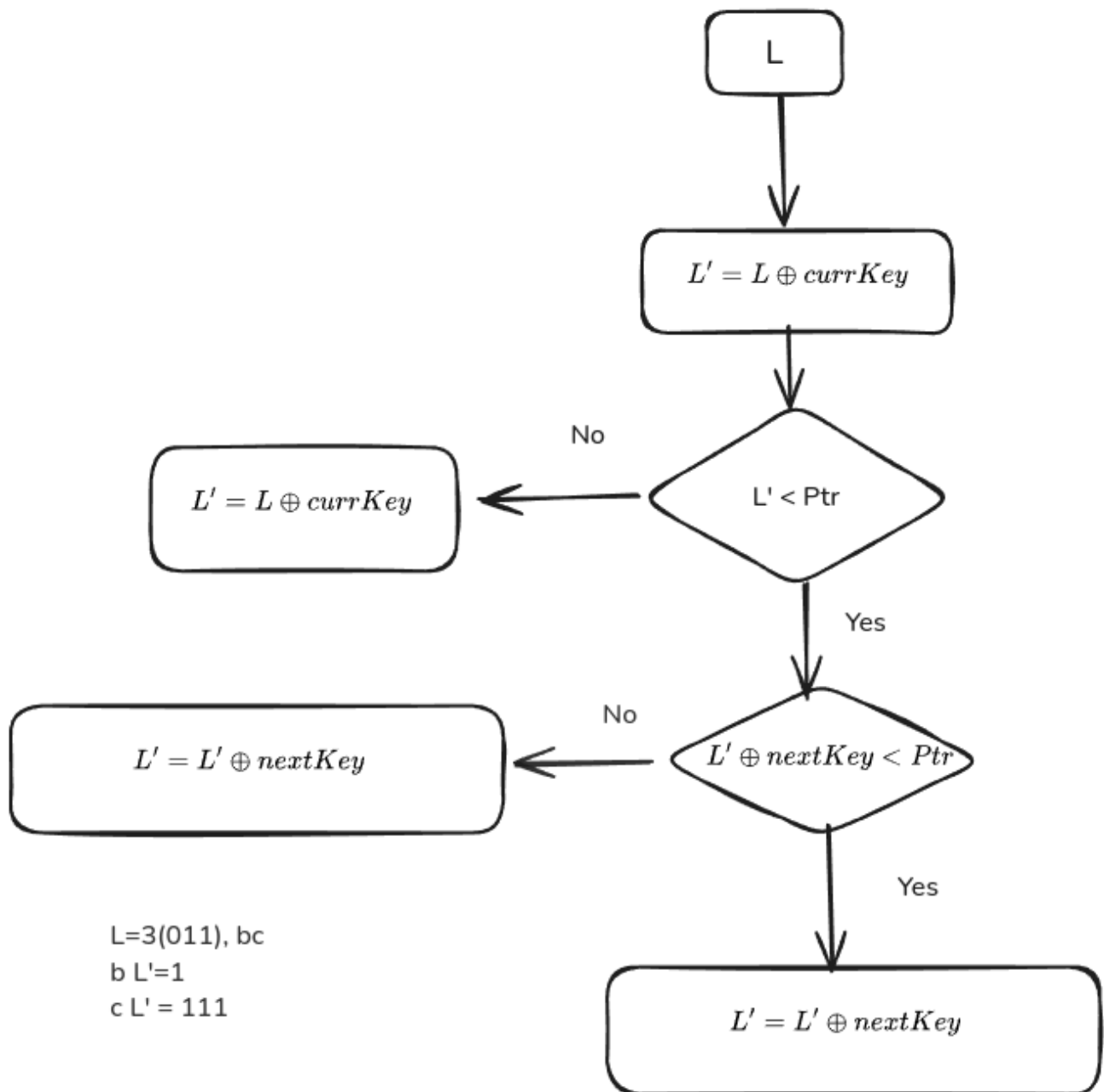


**Figure 10.** An example of dynamically changing xor-based mapping. The effective address is the line-addressed xor-ed with a key. The dynamic remapping algorithm gradually remaps all the lines from a currKey (010) to the nextKey (110).

系统维护一个指针 ptr 表示重映射进行到了第几个row, 在最开始的阶段 ptr 指向第 0 行, 并将其与第  $ptr \oplus currKey \oplus nextKey$  行的进行交换, 随后以此依次往下, 直到交换了一半(因为后面的都已经交换过了, 因此跳过). 在全部处理完了之后 ptr 被重置为 0, 等待下一次密钥轮转.

自己设计一个算法来解决列太多的问题，选择部分

在这个系统之下需要重新设计 上一小结的 L1 转化方案，按照以下步骤进行:



以上的 currKey, NextKey, ptr均存储在SRAM的额外区域内, 完成以上检查和地址转换工作只需要1 cycle.

以上分组做了一定的简化, 在实际操作中一般有  $2^5 = 32$  个组, 一个组里有  $2^{21}$  个gang, 一个gang内有  $2^2 = 4$  个line. 因此大概需要 512 bytes的额外空间.

### 1.5.3 Re-mapping的时机

Re-mapping是以组为单位的, 每次访问一个组时有 1%(Remapping-Rate, RR) 的机率会触发密钥轮转, 也就是Re-mapping.

对于GS4, 内存控制器从源行和目标行中分别读取4line并进行交换 (open-row-X, read-DataX, open-row-Y, read-DataY, write-DataX-to-Y, open-row-X, writeDataY-to-X)。交换操作涉及3次激活 (ACT)、8次列读取 (CAS读取) 和8次列写入 (CAS写入), 消耗带宽和功耗.

在  $RR = 1\%$  时会增加大概 1.5% 的激活次数.



但是每次 remap-period 都会进行大概 200 million 次的激活, 我们可以通过划分 v-group, 使得每第 N 行 **形成一个 v-segment**, 从而减少重映射周期。每个 v-segment 都有自己的一组键和指针。当 N=32 时, v-segment 的重映射周期为 625 million 次激活; 然而, 这需要 16 KB 的 SRAM 开销用于元数据。

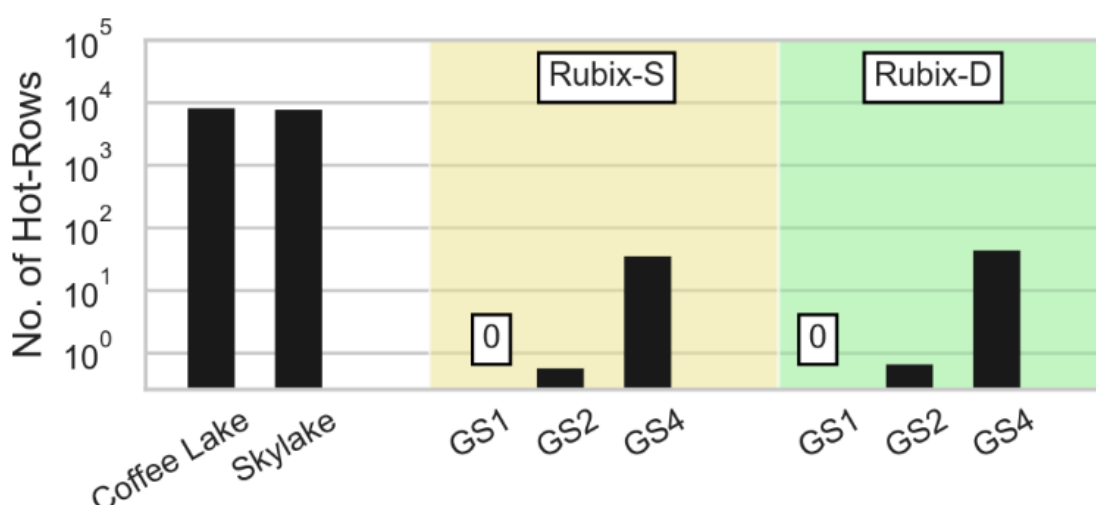
这个办法, 又增加了一次分组, 感觉不太好

## 1.5.4 额外空间和功耗

对于分段的 Rubix-D, 存储开销与段的数量成正比 (例如, 32 个段需要 16KB 的 SRAM)。使用美光的功耗计算器计算的 DRAM 功耗在 GS4 时增加了 130mW (比 baseline 多 4.2%), 在 GS2 时增加了 180mW (增加 5.8%), 在 **GS1 时增加了 320mW (增加 10.9%)**。

### 1.5.4.1 结果

GS1 和 GS2 基本消灭了热行 (没有讲是否分段)



**Figure 12.** Hot-rows in baseline and Rubix (atleast 100x less).

在 RR 为 1% 并且没有分段时平均仅产生 1-3% 的低开销。

在 GS4 时受益于行缓存局部性, AQUA 几乎不会触发缓解措施。

SRS 在  $T_{RH}/3$  的较低阈值下运行, 触发了更多缓解措施, 在 GS2 时表现最佳, 且热行几乎可以忽略不计。

BlockHammer 具有较高的缓解开销, 在 GS1 时热行最少的情况下表现最佳。

Rubix-D 在最坏情况下的性能损失仅为 10%, 而 baseline (BlockHammer) 则超过 100 倍。

这里的图中没有体现出 GSX

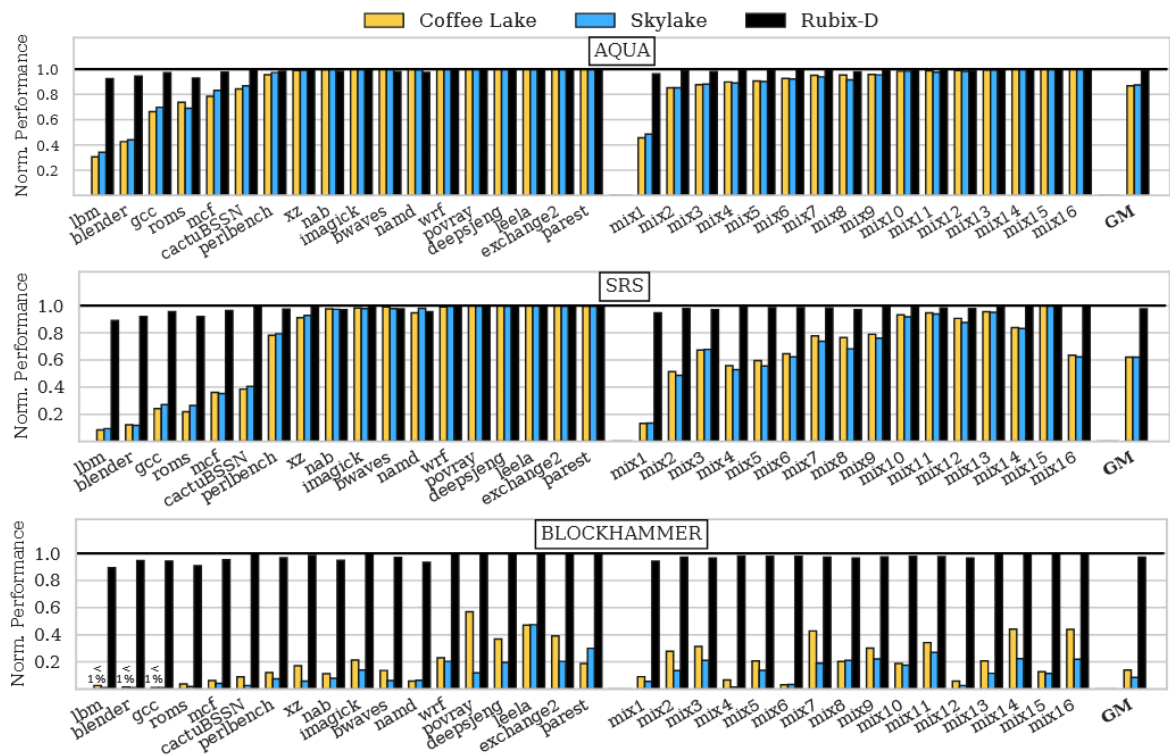


Figure 13. Performance of secure mitigations at  $T_{RH}$  of 128 with Intel mappings and Rubix-D, normalized to unprotected Coffee Lake baseline. With GS4 for AQUA, GS2 for SRS, and GS1 for BlockHammer, Rubix-D incurs a low average slowdown of 1.5%, 2.3%, and 2.8%, respectively (down from 15%, 60%, and 600%).

### 1.5.4.2 Mapping带来的影响

下表展示了Rubix映射在**没有使用任何缓解措施**的情况下的性能损失。由于**行缓冲区命中率低于baseline映射**，Rubix的开销较低，为**1%-3%**。

Rubix-D的开销略高于Rubix-S，因为**动态重映射需要额外的激活**。随机化在最小化热行数量的同时，只带来了较小的性能开销。

	Rubix-S	Rubix-D
GS4	1%	1.3%
GS2	1.6%	1.9%
GS1	2.6%	2.7%

### 1.5.4.3 多通道带来的影响

我们评估了Intel Coffee Lake和Rubix映射在8核模拟的子集工作负载上的表现，**使用了2通道和4通道配置（32GB DDR4内存和16MB LLC）**。  
如下图所示，Intel的映射引入了很大的开销，分别为**15%、45%和380%**，尽管它将一个gang的四个Line分配到4个通道中，但由于连续的line最终以间隔模式落在同一row中。**Rubix打破**

了line与row之间的空间相关性，导致开销仅为1-3%（2通道SRS的Rubix-S为4%）。

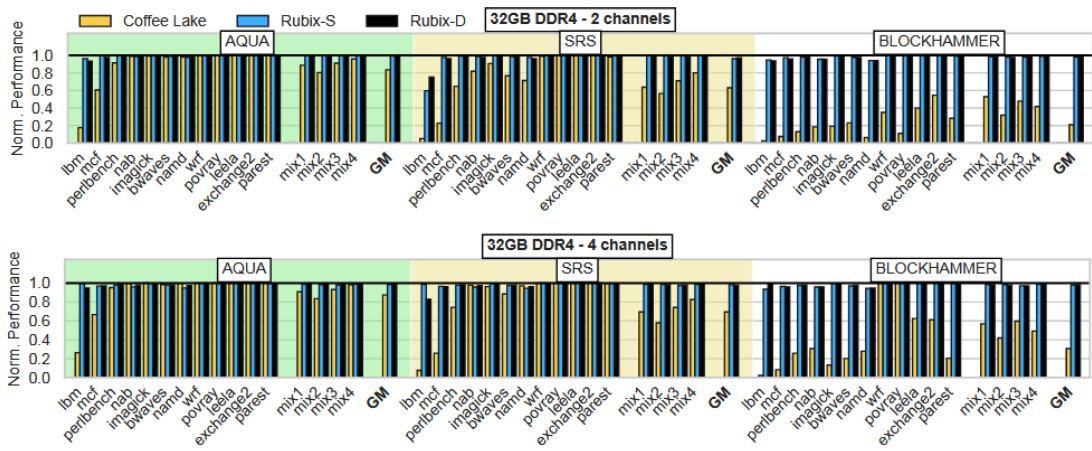


Figure 15. Normalized performance of secure mitigations with Intel and Rubix mappings for an 8-core multi-channel system. While Intel mappings incur impractical average overheads of 15%-380% (AQUA-BlockHammer), Rubix reduces it to 1%-4%.

### 1.5.4.4 内存密集型任务

我们使用内存密集型顺序访存工作负载评估了Rubix和baseline映射，使用了1 GiB数组（LLC MPKI超过50）。

下图展示了Rubix相对于未保护的Coffeelake和Skylake映射的性能。**Rubix消除了所有顺序访存工作负载中的热点行。**平均而言，**Rubix相对于Coffeelake映射（相对于Skylake映射为5%到8%的性能损失）引入了2%到5%的性能损失，这是由于行缓冲命中率较低（RubixD由于动态重映射而引入了更多的性能损失）。**总体而言，即使对于内存作为性能瓶颈的工作负载，Rubix的成本也很低。

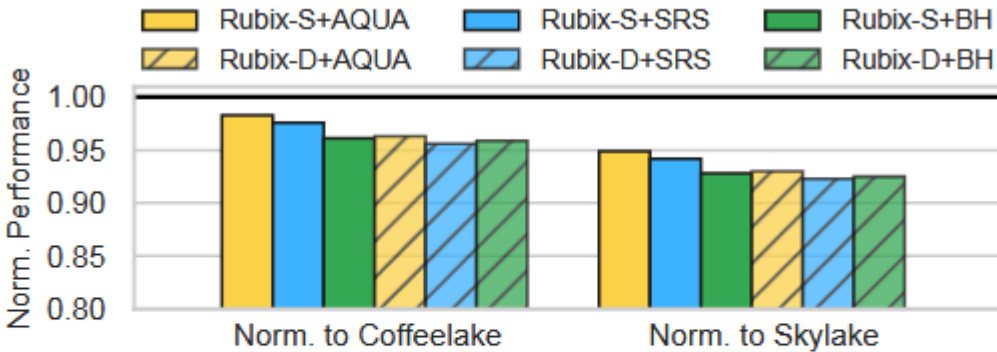


Figure 16. Rubix with secure mitigations incurs 2% to 8% average slowdown (geomean) for memory-intensive workloads compared to unprotected baseline memory mappings.

## 1.6 想法

- Rubix与别的防护方案相结合
- 更好的 Rubix-D
- 针对Rubix的Dos攻击能影响到什么程度

- 由于 Rubix-D的密钥轮转是概率触发，所以有可能会发生上一次变化密钥时未彻底完成内存交换,就再次变化密钥
- 降低的功耗主要来自与 更少达到阈值导致更少触发缓解措施, 如果单从自身来讲可能增加了很多功耗